

*Ю.В.Гуцюляк, к.т.н., доцент, І.В.Дворянин к.т.н., А.Р.Дзюбик, к.т.н., Т.Б.Юзыків, к.т.н.,
доцент (Львівський державний університет безпеки життєдіяльності)*

РОЗРАХУНОК БАНДАЖУ ТА КОНСТРУКЦІЯ УСТАНОВКИ ДЛЯ ПРОВЕДЕННЯ АВАРІЙНО-ВІДНОВЛЮВАЛЬНИХ РОБІТ

Запропонована принципова конструкція установки для проведення аварійно-відновлювальних робіт, яка дозволяє проводити їх без застосування дорогого обладнання, не вимагає експлуатаційних витрат та не займає багато площи. Виконано розрахунок бандажу гідродомкрата для будь-яких його розмірів заданих в безрозмірному вигляді.

Статистика свідчить, що кількість аварій та надзвичайних ситуацій постійно зростає. Події в Пакистані, Катовіце, Москві показують, що проведення аварійно-рятувальних робіт на першому етапі виключає можливість використання важкої техніки, оскільки в такому випадку виникає загроза життю людей. Застосування спеціальних пристройів, які здатні розвивати значні зусилля не створюючи загрози життю людей та не вимагають спеціальних джерел живлення (особливо в гірських та важкодоступних місцевостях), є актуальним заданням аварійно-рятувальних служб. В зв'язку з цим, авторами була розроблена принципова схема установки (рис.1).

Установка складається із маодернізованого гідродомкрата обладнаного бандажем [1], силового гідроциліндра, з'єднувальних армованих гумових трубопроводів та спеціального запірного пристроя.

В процесі експлуатації гідроциліндр встановлюють на опорну плиту та за допомогою армованих шлангів з'єднують його з модернізованим гідродомкратом. Важіль плунжерного механізму приводять в зворотно-поступальний рух і створюють тиск в напірній порожнині гідродомкрата та в напірній порожнині гідроциліндра, величину якої вимірюють зразковим манометром. Поршень гідроциліндра переміщується вверх і розвиває зусилля, необхідне для проведення аварійно-відновлювальних робіт. Об'єм робочої рідини, який подається плунжером гідродомкрата, є значно меншим від об'єму гідроциліндра, тому швидкість підйому поршня гідроциліндра є малою.

В такий спосіб ми виграємо в зусиллях і програємо в переміщеннях.

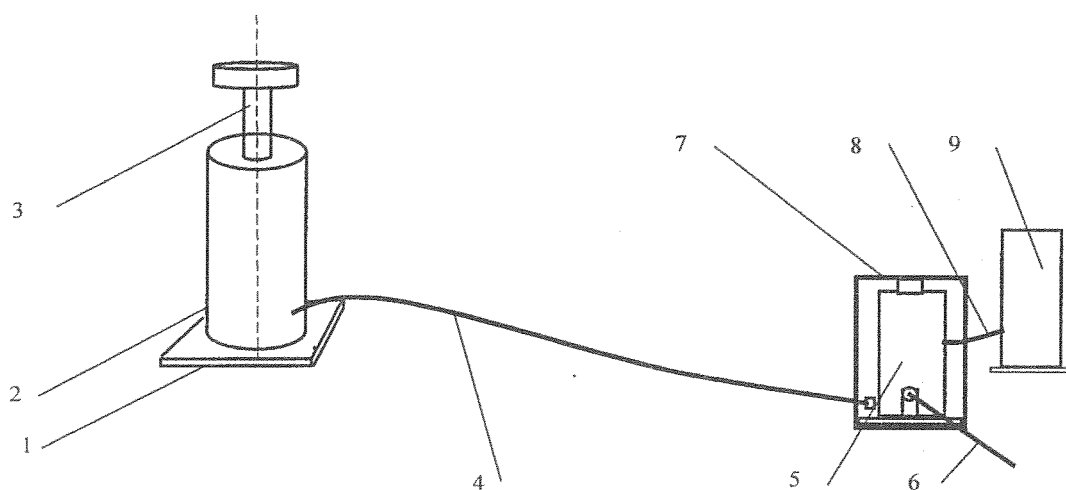


Рис. 1. Принципова схема установки проведення аварійно-відновлювальних робіт

- 1 - опорна плита;
- 2 - гідроциліндр;
- 3 - поршень гідроциліндра;
- 4 - з'єднувальні трубопроводи;
- 5 - гідродомкрат;
- 6 - важіль;
- 7 - бандаж;
- 8 - всмоктуючий трубопровід;
- 9 - резервуар з маслом

Для отримання більших зусиль доцільніше використовувати гідропривід з великою площею циліндра. Стискуюче зусилля визначається:

$$N = p_I A_I; \quad (1)$$

де p_I - тиск в нагнітальній порожнині гідроциліндра; A_I - площа гідроциліндра в нагнітальній порожнині. Необхідну площину поршня гідроциліндра можна визначити виходячи із умови:

$$A_I = \frac{N_{\text{необ}}}{N_\delta} A_\delta; \quad (2)$$

де A_I, A_δ - відповідно площини штока гідроциліндра та гідродомкрата; $N_{\text{необ}}, N_\delta$ - відповідно максимально необхідні зусилля на штоці гідроциліндра та гідродомкрата.

Розміри поперечного перерізу бандажу знаходять за допомогою методу сил, склавши канонічні рівняння для тричі статично невизначуваної системи [2].

Розрахункова схема бандажу для будь-якої комбінації його розмірів показана на рис.2.

Приймемо: $\frac{b}{h} = n$; $\frac{l}{a} = m$.

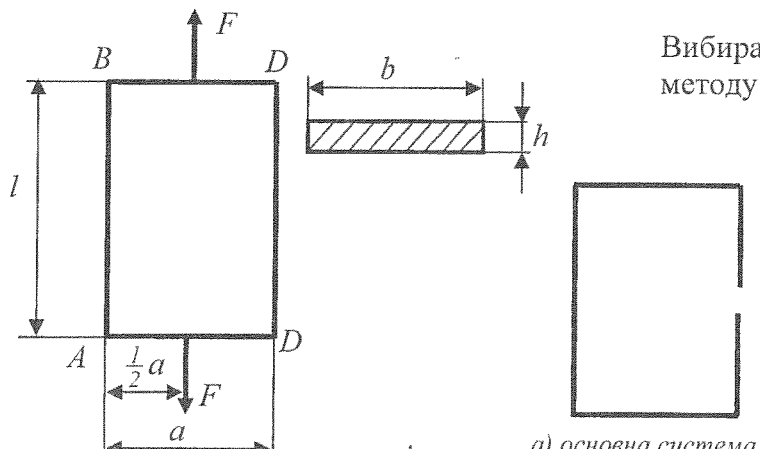


Рис. 2

Вибираємо основну та еквівалентну системи методу сил рис.3.

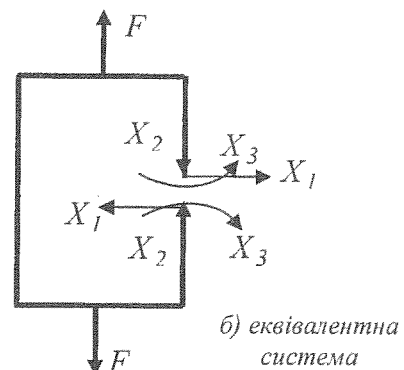


Рис. 3

Будуємо епюри згинальних моментів від зовнішнього навантаження та одиничних сил рис.4. та визначаємо коефіцієнти та вільні члени канонічних рівнянь методу сил.

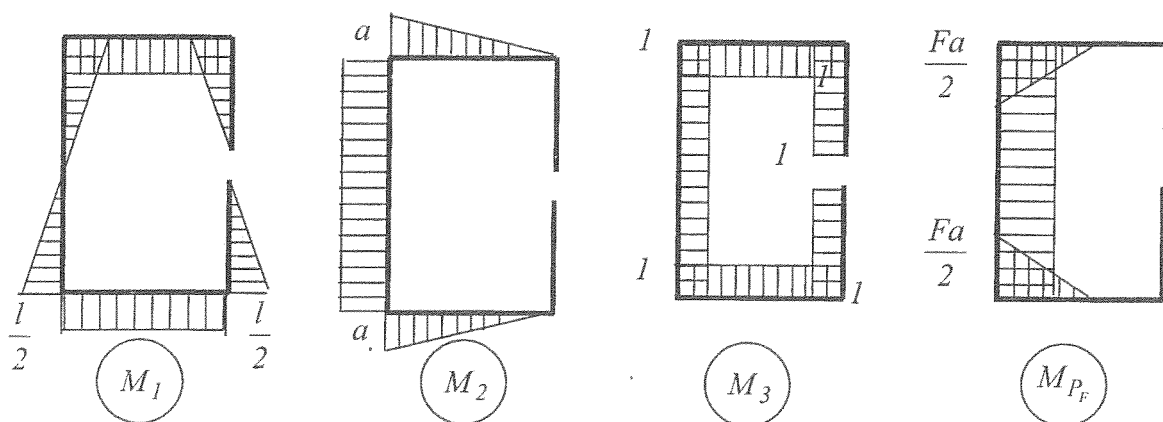


Рис. 4. Епюри згинальних моментів від одиничних та зовнішніх сил.

$$EI_z \delta_{11} = 4 \cdot \frac{1}{2} \cdot \frac{l}{2} \cdot \frac{2}{3} \cdot \frac{l}{2} + 2 \cdot \frac{l}{2} \cdot a \cdot \frac{l}{2} = \frac{a^3}{2} \left(\frac{m^3}{3} + \frac{m^2}{2} \right);$$

$$EI_z \delta_{12} = 0; \quad EI_z \delta_{13} = 0;$$

$$EI_z \delta_{22} = 2 \cdot \frac{1}{2} \cdot a \cdot a \cdot \frac{2}{3} \cdot a + l \cdot a \cdot a = a^3 \left(m + \frac{2}{3} \right);$$

$$EI_z \delta_{23} = -2 \cdot \frac{1}{2} \cdot a \cdot a \cdot l - l \cdot a \cdot l = -a^2(m+1);$$

$$EI_z \delta_{33} = 2 \cdot l \cdot l \cdot l + 2 \cdot a \cdot l \cdot l = 2a(m+1);$$

$$EI_z \Delta_{lF} = 0;$$

$$EI_z \Delta_{2F} = -2 \frac{1}{2} \cdot \frac{Fa}{2} \cdot \frac{a}{2} \left(\frac{a}{2} + \frac{2}{3} \cdot \frac{a}{2} \right) - \frac{Fa}{2} \cdot l \cdot a = -\frac{Fa^3}{2} \left(m + \frac{5}{12} \right);$$

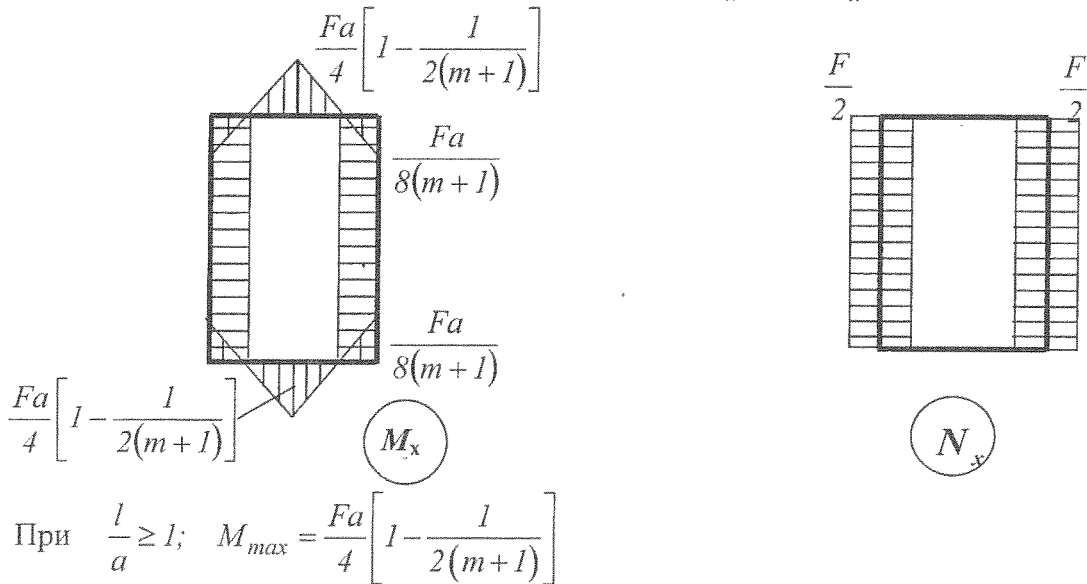
$$EI_z \Delta_{3F} = 2 \frac{1}{2} \cdot \frac{Fa}{2} \cdot \frac{a}{2} l + \frac{Fa}{2} \cdot l \cdot l = -\frac{Fa^3}{2} \left(m + \frac{1}{2} \right).$$

Записуємо та розв'язуємо систему канонічних рівнянь

$$\begin{cases} X_1 = 0 \\ a^3 \left(m + \frac{2}{3} \right) \cdot X_2 - a^2(m+1) \cdot X_3 = \frac{Fa^3}{2} \left(m + \frac{5}{12} \right) \\ -a^2(m+1) \cdot X_2 + 2a(m+1) \cdot X_3 = -\frac{Fa}{2} \left(m + \frac{1}{2} \right). \end{cases} \quad (3)$$

$$\text{Звідки: } X_1 = 0; \quad X_2 = \frac{F}{2}; \quad X_3 = \frac{Fa}{8(m+1)}. \quad (4)$$

Будуємо епюри внутрішніх силових факторів $En M_x$; $En N_x$ рис.5



$$\text{При } \frac{l}{a} \geq 1; \quad M_{max} = \frac{Fa}{4} \left[1 - \frac{1}{2(m+1)} \right]$$

якщо $m = 1$, то $M_{max} = \frac{3Fa}{16}$; що збігається з розв'язком одержаним С. Л. Посацьким [3]

Необхідну товщину бандажу h визначаємо з умови міцності на згин (ланка BC), а перевірку міцності виконаємо для елементів у яких виникає згиальний момент та поперечна сила (ланка AB), що особливо актуально при великих значеннях m , яке залежить від конструктивних розмірів гідродомкрата.

Міцність поздовжніх ланок BC і AD визначається із умови міцності на згин, враховуючи, що $M_{max} = \frac{F_a}{4} \left[1 - \frac{1}{2(m+1)} \right]$; та $W_z = \frac{bn^2}{6} = \frac{nh^3}{6}$ одержуємо:

$$\frac{3Fa}{2nh^3} \left[1 - \frac{1}{2(m+1)} \right] \leq [\sigma] \quad (5)$$

звідки $h \geq \sqrt[3]{\frac{3Fa}{2n} \left[1 - \frac{1}{2(m+1)} \right]}$. (6)

Міцність поздовжніх ланок AB і CD визначається із умови міцності на згин та осьовий розтяг

$$\frac{M_{AB}}{W_z} + \frac{N}{A} \leq [\sigma], \quad \text{або} \quad \frac{F_A}{4(m+1)n^3} + \frac{F}{2nh^2} \leq [\sigma] \quad (7)$$

$$\frac{F}{2nh^3} \left(\frac{3a}{2(m+1)} + h \right) \leq [\sigma]$$

$$\frac{3Fa + 2F(m+1)h}{4n(m+1)h^3} \leq [\sigma]$$

$$3Fa + 2(m+1)Fh \leq 4n(m+1)h^3 [\sigma]$$

$$4n(m+1)[\sigma]h^3 - 2(m+1)Fh - 3Fa = 0$$

$$\text{або } c_1h^3 + c_2h + D = 0 \quad (8)$$

де $c_1 = 4n(m+1)[\sigma]$; $c_2 = -2(m+1)F$; $D = -3Fa$.

Дійсний корінь рівняння (8), отриманий за допомогою універсального математичного редактора MATCAD:

$$h_1 = \frac{1}{6c_1} \left[\left[-108D + 12\sqrt{3} \left[\frac{4c^2 + 27D^3c_1}{c_1} \right]^{\frac{1}{2}} \right] c_1^2 \right]^{\frac{1}{3}} - 2 \frac{c_2}{\left[\left[-108D + 12\sqrt{3} \left[\frac{4c^2 + 27D^3c_1}{c_1} \right]^{\frac{1}{2}} \right] c_1^2 \right]^{\frac{1}{3}}}.$$

Висновок.

1. Запропоновано принципову конструкцію установки для проведення аварійно-відновлювальних робіт.

2. Виконано розрахунок бандажу гідродомкрата для будь-яких його розмірів, заданих в безрозмірному вигляді. На основі аналізу одержаних розв'язків встановлено, що товщину бандажу слід приймати за більшим значенням h або h_1 .

ЛІТЕРАТУРА

- Гуцуляк Ю.В. Кокотко Я.В. Деякі результати дослідження податливості гумових армованих шлангів заповнених маслом. В кн.: Технотехнические системы и устройства: Вестник Львов. Политехн. Ин – та №160 – Львов Вища школа. Вид-во при ЛДУ, 1982
- Гурняк Л.І., Гуцуляк Ю.В., Юзьків Т.Б. Опір матеріалів. Навчальний посібник для вивчення курсу при кредитно – модульній системі навчання. Навчальний посібник. - Львів: Новий світ 2000, 2005. – 388с.
- Посацький С.Л. Опір матеріалів. Вид-во ЛДУ, 1973, 404 с.